

Rotor 28B

- [Français](#)
- [English](#)

Downloadable files

x

Open access

[Git project](#)

Original model

Rotor 28B is part of a research program to study the effects of aspect ratio, diffusion factor, and solidity on rotors. To do so, experimental studies have been conducted on a series of high-hub-tip-radius-ratio compressor stages representative of the middle and latter stages of axial-flow compressors. In fact, 14 middle stages were tested to assess the effects on performance of varying both diffusion through the rotor and stator blades and blade aspect ratio. Among these 14 stages, there are rotors 23B, 24A, 25A, 26B, 27A and 28B. Both the tip diameter and the hub-tip radius ratio were held constant throughout each stage at 50.8 centimeters and 0.8, respectively.

- Original technical report [\[1\]](#):

```
@TechReport{britsch1979design,
author      = {Britsch, Werner R. and Osborn, Walter M. and Laessig, Mark R.},
title       = {Effects of Diffusion Factor, Aspect Ratio, and Solidity on Overall Performance of 14 Compressor Middle Stages},
institution = {NASA Lewis Research Center Cleveland, OH, United States},
note        = {NASA-TP-1523, url~:
\url{https://ntrs.nasa.gov/citations/19790025039}, 1979 }}
```

- Picture :



<https://catalog.archives.gov/id/17446213>

```
@Misc{brown1975records,
author  = {Brown, M.},
title   = {Rotor 28B - Stator 22. {R}ecords of the {N}ational {A}eronautics
and {S}pace {A}dministration, 1903 - 2006. {P}hotographs relating to agency
activities, facilities and personnel, 1975 - 2013},
note    =
{\url{https://catalog.archives.gov/id/17446213}}{https://catalog.archives.gov/
id/17446213}, 1975 }, % for Fig. 1}
```

Useful documents

- PDF of the NASA report :
- CSV file of the blade geometry :

rotor28b.pdf

rotor28b_original.csv

Geometry

The geometry of rotor 28B is described in the original NASA report by the following tables. The length are in centimeters and the angles in degrees.

TABLE 13. - BLADE GEOMETRY FOR ROTOR 28B

RP	PERCENT SPAN	R _I	R _O	BLADE ANGLES	DELTA	CONE ANGLE
TIP	0.	25.400	25.400	K _{IC}	K _{TC}	K _{OC}
1	5.	25.191	25.146	63.64	54.10	43.52
2	10.	24.952	24.892	63.17	53.28	41.95
3	15.	24.701	24.638	62.75	52.52	40.44
4	30.	23.905	23.876	61.79	50.77	36.55
5	50.	22.831	22.860	60.68	48.52	30.86
6	70.	21.757	21.844	59.54	46.14	24.17
7	85.	20.971	21.082	58.68	44.18	18.04
8	90.	20.730	20.828	58.38	43.17	14.75
9	95.	20.505	20.574	58.08	41.90	10.38
HUB	100.	20.320	20.320	57.82	40.76	5.60

RP	BLADE THICKNESSES			AXIAL DIMENSIONS		
	T _I	T _M	T _O	Z _{IC}	Z _{MC}	Z _{OC}
TIP	0.051	0.188	0.051	0.702	2.319	2.253
1	0.051	0.197	0.051	0.669	2.320	2.224
2	0.051	0.207	0.051	0.634	2.320	2.191
3	0.051	0.217	0.051	0.599	2.320	2.157
4	0.051	0.250	0.051	0.515	2.316	2.055
5	0.051	0.292	0.051	0.402	2.309	1.909
6	0.051	0.332	0.051	0.279	2.303	1.744
7	0.051	0.360	0.051	0.172	2.297	1.603
8	0.051	0.369	0.051	0.120	2.296	1.541
9	0.051	0.377	0.051	0.057	2.295	1.468
HUB	0.051	0.383	0.051	-0.000	2.294	1.404

Aerodynamic design

	unit	values
pressure ratio	[\cdot]	1.399
mass flow	[kg/s]	9.46
tip speed	[m/s]	243.8
tip solidity	[\cdot]	1.8
aspect ratio	[\cdot]	0.8
number of blades	[\cdot]	45
rotative speed	[rad/s]	960.28

Material properties

The original material of the rotor 28B is not defined in the NASA report.

Considered properties: 200-grade maraging steel :

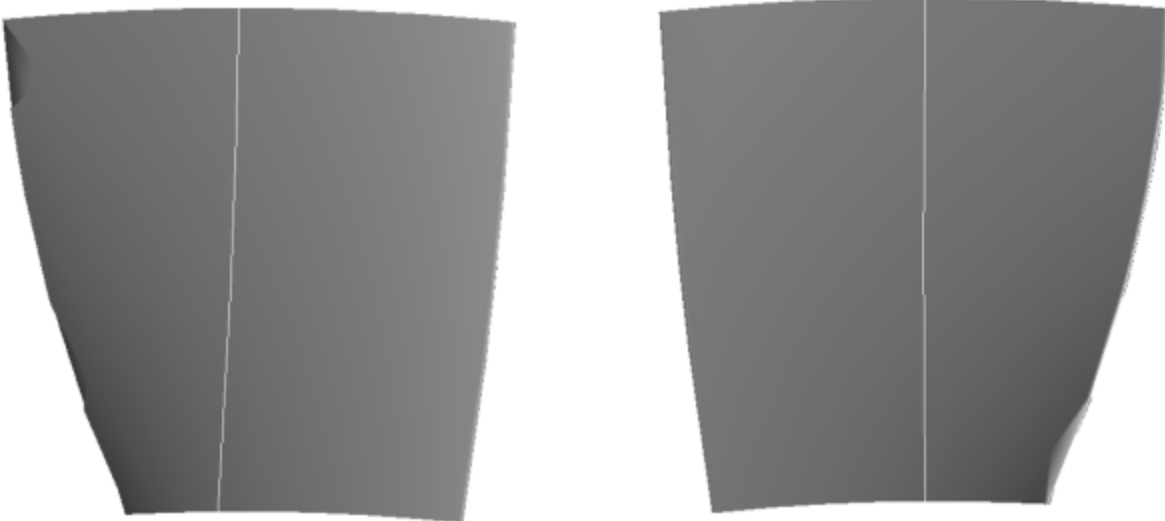
	unité	valeurs
alloy	[\cdot]	18-Ni-200-maraging
Young's modulus	[GPa]	180
density	[kg/m ³]	8000
Poisson's ratio	[\cdot]	0.3
yield stress	[GPa]	1.38

First three natural frequencies (with clamped root) for the mesh:

1. (1B): 9889.9 rad/s / 1574.0 Hz

2. (1T): 21660.6 rad/s / 3447.4 Hz
3. (2B): 30881.7 rad/s / 4915.0 Hz

CAD



Fichiers téléchargeables

x

Libre accès

[lien vers le projet Git](#)

Modèle original

Le rotor 28B fait partie d'un programme de recherche visant à étudier les effets de l'allongement, du facteur de diffusion et de la solidité des rotors. Pour ce faire, des études expérimentales ont été menées sur une série d'étages de compresseurs à fort rapport entre les rayons du moyeu et de la tête d'aube, représentatifs des étages moyens et avancés des compresseurs à flux axial. En effet, 14 étages intermédiaires ont été testés pour évaluer les effets sur les performances de la variation de la diffusion et de l'allongement des aubes. Parmi ces 14 étages, on trouve les rotors 23B, 24A, 25A, 26B, 27A et 28B. Le diamètre de l'extrémité des aubes et le rapport entre les rayons du moyeu et de la tête d'aube ont été maintenus constants tout au long de chaque étage à 50.8 centimètres et 0.8, respectivement.

- Rapport technique original [\[1\]](#):

```
@TechReport{britsch1979design,
author      = {Britsch, Werner R. and Osborn, Walter M. and Laessig, Mark R.},
title       = {Effects of Diffusion Factor, Aspect Ratio, and Solidity on Overall Performance of 14 Compressor Middle Stages},
institution = {NASA Lewis Research Center Cleveland, OH, United States},
note        = {NASA-TP-1523, url~:}
```

```
\url{https://ntrs.nasa.gov/citations/19790025039}, 1979 }}
```

- Photographie :



<https://catalog.archives.gov/id/17446213>

```
@Misc{brown1975records,  
author = {Brown, M.},  
title = {Rotor 28B - Stator 22. Records of the National Aeronautics and Space Administration, 1903 - 2006. Photographs relating to agency activities, facilities and personnel, 1975 - 2013},  
note = {\url{https://catalog.archives.gov/id/17446213}{https://catalog.archives.gov/id/17446213}, 1975 }, % for Fig. 1}
```

Documents utiles

- PDF du rapport de la NASA :

rotor28b.pdf

- Fichier CSV de la géométrie :

rotor28b_original.csv

Géométrie

La géométrie du rotor 28B est décrite dans le [rapport d'origine de la NASA](#) par les tableaux suivants. Les grandeurs sont en centimètres et en degrés.

TABLE 13. - BLADE GEOMETRY FOR ROTOR 28B

RP	SPAN	RI	R0	BLADE ANGLES			DELTA	CONE
				KIC	KTC	KOC		
TIP	0.	25.400	25.400	64.08	54.88	45.13	2.47	0.057
1	5.	25.191	25.146	63.64	54.10	43.52	2.63	-0.606
2	10.	24.952	24.892	63.17	53.28	41.95	2.80	-0.901
3	15.	24.701	24.638	62.75	52.52	40.44	2.99	-0.920
4	30.	23.905	23.876	61.79	50.77	36.55	3.56	-0.401
5	50.	22.831	22.860	60.68	48.52	30.86	4.23	0.375
6	70.	21.757	21.844	59.54	46.14	24.17	4.95	1.054
7	85.	20.971	21.082	58.68	44.18	18.04	5.59	1.282
8	90.	20.730	20.828	58.38	43.17	14.75	5.50	1.112
9	95.	20.503	20.574	58.08	41.90	10.38	5.59	0.775
HUB	100.	20.320	20.320	57.82	40.76	5.60	5.66	0.057

RP	BLADE THICKNESSES			AXIAL DIMENSIONS			
	TI	TM	TO	ZIC	ZMC	ZTC	ZCC
TIP	0.051	0.188	0.051	0.702	2.319	2.255	4.362
1	0.051	0.197	0.051	0.669	2.320	2.224	4.419
2	0.051	0.207	0.051	0.634	2.320	2.191	4.473
3	0.051	0.217	0.051	0.599	2.320	2.157	4.523
4	0.051	0.250	0.051	0.515	2.316	2.055	4.645
5	0.051	0.292	0.051	0.402	2.309	1.909	4.808
6	0.051	0.332	0.051	0.279	2.303	1.744	4.983
7	0.051	0.360	0.051	0.172	2.297	1.603	5.125
8	0.051	0.369	0.051	0.120	2.296	1.541	5.192
9	0.051	0.377	0.051	0.057	2.295	1.468	5.278
HUB	0.051	0.383	0.051	-0.000	2.294	1.404	5.370

Caractéristiques aérodynamiques

	unités	valeurs
taux de compression	[-]	1,399
débit massique	[kg/s]	9,46
vitesse en tête	[m/s]	243,8
solidité en tête	[-]	1,8
allongement	[-]	0,8
nombre d'aubes	[-]	45
vitesse de rotation	[rad/s]	960,28

Propriétés matériau

Le matériau original du rotor 28B n'est pas défini dans le rapport de la NASA.

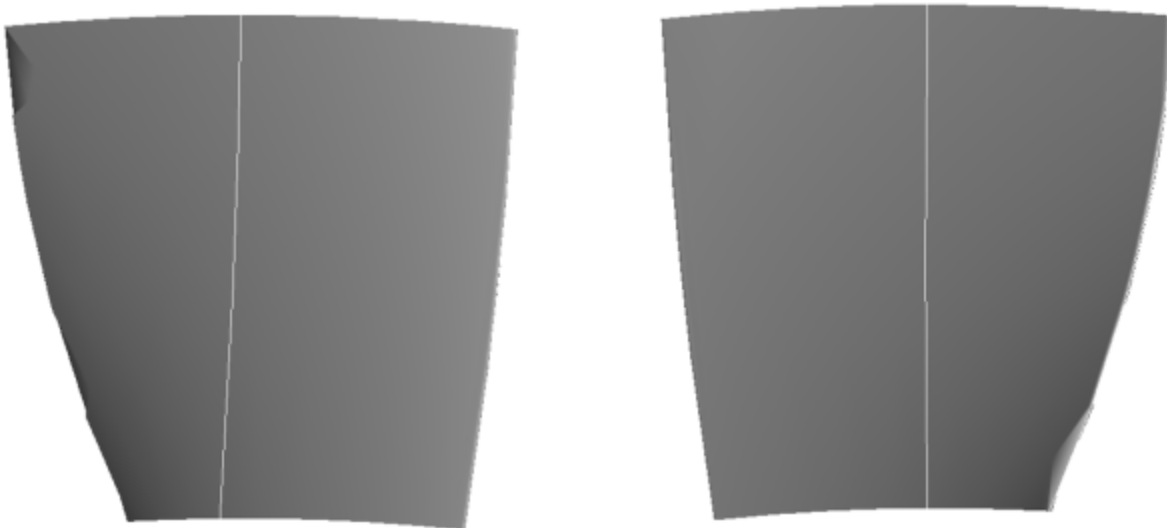
Propriétés considérées : un acier maraging de grade 200 :

	unité	valeurs
alliage	[-]	18-Ni-200-maraging
module d'Young	[GPa]	180
masse volumique	[kg/m3]	8000
coefficient de Poisson	[-]	0,3
limite élastique	[GPa]	1,38

Fréquences des trois premiers modes (noeuds de la base encastrés) pour le maillage :

1. (1B): 9889,9 rad/s / 1574,0 Hz
2. (1T): 21660,6 rad/s / 3447,4 Hz
3. (2B): 30881,7 rad/s / 4915,0 Hz

CAO



1. ^{a, b} Britsch. «Design and overall performance of four highly loaded, high speed inlet stages for an advanced high-pressure-ratio core compressor » 1979. [pdf](#)

Document issu de la page wiki:

https://lava-wiki.meca.polymtl.ca/public/modeles/rotor_28b/accueil?rev=1663351689

Dernière mise à jour: **2023/04/05 08:59**